

Kızılberisi Algılayıcılarından Elde Edilen Sinyallerin Parametrik Modellemeyle Yüzey Ayırdetme ve Konum Kestirimi

Surface Differentiation and Position Estimation by Parametric Modeling of Signals Obtained with Infrared Sensors

Tayfun Aytaç ve Billur Barshan

Elektrik ve Elektronik Mühendisliği Bölümü
Bilkent Üniversitesi 06800, Bilkent, Ankara
{taytac, billur}@ee.bilkent.edu.tr

Özetçe

Bu çalışmada, düşük maliyetli kızılberisi alıcı ve vericiler, farklı özelliklere sahip yüzeylerin konumdan bağımsız olarak tanımlanmasında kullanılmaktadır. Bu tip algılayıcılarından elde edilen yoğunlık ölçütleri yüzeyin konumuna ve özelliklerine analitik olarak kolayca ifade edilemeyecek şekilde bağlıdır ve bu durum ayırdetme ve konum kestirimi sürecini zorlaştırmaktadır. Açısal yoğunlık taramalarını parametrik olarak modellenen yaklaşımımız çeşitli yüzeyleri konumdan bağımsız olarak ayırdedebilmektedir. Yüzey tanımlandıktan sonra, konumu da kestirilmektedir. Yöntem deneyel olaraq tahta, beyaz köpükten ambalaj malzemesi, beyaz badanalı duvar, beyaz ve siyah kumaş, beyaz, kahverengi ve mor resim kağıdı ile doğrulanmıştır. Sekiz yüzey için %73 doğru ayırdetme oranı elde edilmiş ve yüzeylerin konumu sırasıyla 0,8 cm ve 1,1° mutlak erim ve açısal konum hatalarıyla kestirilmiştir. Ayırdetme oranı yedi yüzey için %86'ya ve altı yüzey için %100'e ulaşmaktadır. Uygulanan yöntem, basit kızılberisi algılayıcılarından elde edilen sinyallerin uygun işlenmesiyle çok daha fazla bilgi çıkarılarak bilinen uygulamaların dışında da kullanılabileceğini göstermektedir.

Abstract

In this study, low-cost infrared emitters and detectors are used for the recognition of surfaces with different properties in a location-invariant manner. The intensity readings obtained with such sensors are highly dependent on the location and properties of the surface in a way that cannot be represented analytically in a simple manner, complicating the differentiation and localization process. Our approach, which models infrared angular intensity scans parametrically, can distinguish different surfaces independently of their positions. Once the surface type is identified, its position can also be estimated. The method is verified experimentally with wood, styrofoam packaging material, white painted wall, white and black clothes, and white, brown, and violet papers. A correct differentiation rate of 73% is achieved over eight surfaces and the surfaces are localized within absolute range and azimuth errors of 0.8 cm and 1.1°, respectively. The differentiation rate improves to 86% over seven

surfaces and 100% over six surfaces. The method demonstrated shows that simple infrared sensors, when coupled with appropriate processing, can be used to extract a significantly greater amount of information than they are commonly employed for.

1. Giriş

Bu çalışmada, farklı renk ve doku özelliklerine sahip yüzeyler kızılberisi yoğunlık taramalarının parametrik olarak modellenmesiyle ayırdedilmektedir. İleri sürülen yöntem orta sayıda yüzeyi ayırdedebilmektedir. Bu bölümde, ışığın yüzeye olan etkileşimi kısaca açıklanacak ve varolan bazı modeller sunulacaktır.

Nesnelerden yansyan ışık, ışık kaynağının dalga boyuna, uzaklığa ve dağınık ya da noktasal olma özelliğine, yansıtma, emme ve geçirme gibi yüzey özelliklerine bağlıdır [1, 2]. Yansıma, yüzey özelliklerine bağlı olarak farklı şekillerde modellenebilir.

Mat yüzeyler, ışığı yansıtmayan ve gelen bütün ışığı gelme açısına göre her yönde eşit şekilde dağıtan ideal Lambert yüzeyler olarak modellenebilirler [1, 3, 4]. Yansıyan ışığın yoğunluğu yüzeyin normaliyle gelme açısı arasındaki α açısına bağlıdır (Şekil 1). Lambert yüzey, enerjisi E olan bir noktasal kaynak tarafından aydınlatıldığında, yansımı fonksiyonu şu şekilde verilir:

$$R = \frac{1}{\pi} E \cos(\alpha) \quad \alpha \geq 0 \quad (1)$$

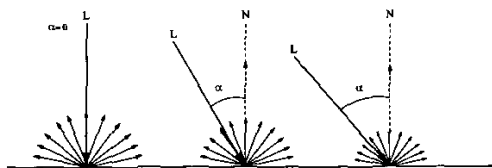
Bu ilişkiye mat yüzeyler için "cosinus" yada Lambert yansıtma yasası denir [3].

Aynasal yansıtma olmasa durumunda ise, yansıyan ışık gelen ışık ve yüzey normaliyle tanımlanan düzlemede yansımaktadır ve yüzeyin normaliyle yaptığı açı, gelme açısına eşittir (Şekil 2).

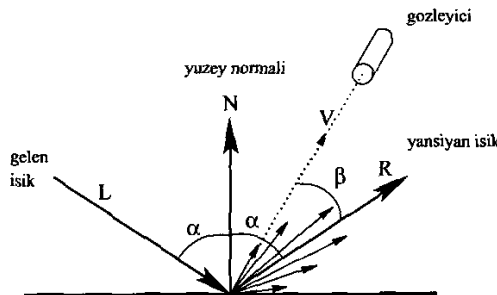
Bilgisayar grafiği uygulamalarında sıkça kullanılan Phong aydınlatma modeli [5] ortam aydınlatmasını, dağınık ve aynasal yansımayı tek bir formülde birleştirmektedir:

$$I = I_a k_a + I_d [k_d (\vec{L} \cdot \vec{N})] + I_i [k_s (\vec{R} \cdot \vec{V})^n] \quad (2)$$

burada I_a ve I_i sırasıyla ortam aydınlatmasını ve gelen ışığın yoğunlığını, k_a , k_d ve k_s verilen yüzey için ortam, dağınık ve



Şekil 1: Dağınık yansımı.



Şekil 2: Aynasal yansımı.

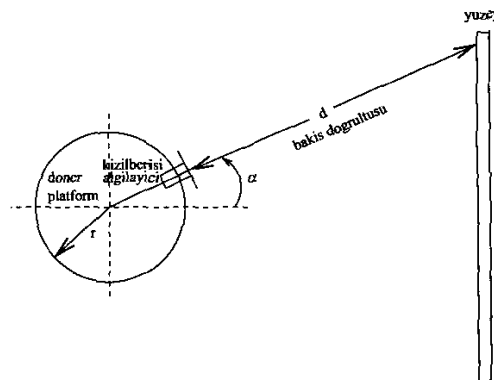
aynasal yansımı katsayılarını ve \vec{L} , \vec{N} , \vec{R} ve \vec{V} birim vektörleri ise sırasıyla ışık kaynağını, yüzey normalini, yansıyan ışık ve baksız doğrultusunu göstermektedir (Şekil 2). Denklem (2)'de ilk terim olan ortam aydınlatması bu çalışmada kullanıldığımız kızılberisi algılayıcıyı kaplayan süzgeç tarafından süzüldüğü için diğer terimlere göre ihmal edilebilir.

Denklem (2)'de ifade edilen matematiksel model, Kaynak [6]'da, bilinen uzaklıktaki yüzeylerden elde edilen yoğunlık taramalarının modellenmesinde kullanılmıştır. Bu sayede küçük erimler için algılayıcının erim kestiriminde iyileştirme sağlanmıştır. Bizim yaklaşımımız [6]'dan, daha basit bir model olması, uzaklığa değişken olarak olması ve daha önceden uzaklığa bilinmesini gerektirmemesi açısından farklıdır. Diğer bir fark ise, çalışma [6] esas olarak yüzey türünün belirlenmesinden öte kısıtlı bir uzaklık aralığında erim kestirimile ilgilenmektedir. Oysa bizim yaklaşımımız daha çok yüzey türünün belirlenmesine odaklanmıştır. Diğer bir çalışmada ise [7], aktif kızılberisi algılayıcı demetlerinin ayırtetme özellikleri kızılberisi sinyal iletiminin Denklem (2) ile benzeriyle incelenmiştir.

Bildiri şu şekilde düzenlenmiştir: Bölüm 2'de, kızılberisi yoğunlık taramalarının modellenmesi anlatılmıştır. Bölüm 3'de ileri sürülen yaklaşım deneyel olarak doğrulanmıştır. Son bölümde ise sonuçlar çıkarılmış ve olası gelecek araştırma konularına değinilmiştir.

2. Kızılberisi Yeşilik Taramalarının Modellemesi

Bu çalışmada, tahta, beyaz köpükten ambalaj malzemesi, beyaz badanalı duvar, beyaz ve siyah kumaş, beyaz, kahverengi ve mor resim kağıdı gibi yüzeyler ayırdılmamıştır. Yüzeylerden açısal yeşilik taramaları elde etmek için kızılberisi algılayıcı [8] 15,2 cm yarıçapında döner



Şekil 3: Deney düzeneğinin üstten görünüşü. Alıcı ve verici pencereleri 8 mm çapında olup merkez aralıkları 12 mm olan dairelerdir. (Verici alıcının üstündedir.) Hem tarama açısı α hem de yüzeyin konum açısı θ yatay eksenden saatin tersi yönünde ölçülmektedir.

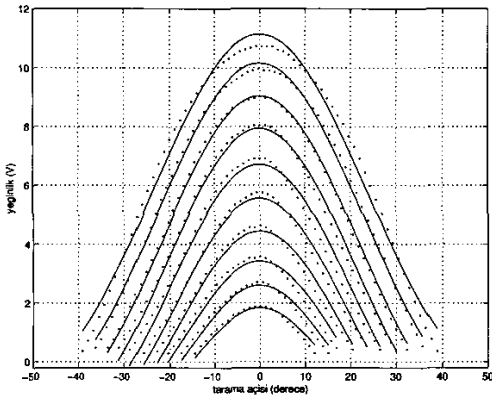
bir platform [9] üzerinde yerleştirilmiştir (Şekil 3). Yeşilik referans taramaları her yüzey türü için yüzeyleri 2,5 cm aralıklarla, 30 cm'den 52,5 cm'e kadar, $\theta = 0^\circ$ açısal konumunda yerleştirerek elde edilmiştir. Örnek olarak beyaz köpükten ambalaj malzemesi için farklı uzaklıklarda yoğunlık taramaları Şekil 4'de noktalarla gösterilmiştir. Diğer yüzeylerin yoğunlık taramaları da benzer karakteristik eğrilere sahiptir. Bu yoğunlık taramaları, yüzeyler ideal Lambert yüzey olarak kabul edilerek şu şekilde modellenmiştir:

$$I = \frac{C_0 \cos(\alpha C_1)}{\left[\frac{C_2}{\cos(\alpha)} + r \left(\frac{1}{\cos(\alpha)} - 1 \right) \right]^2} \quad (3)$$

Bu model Denklem (1)'deki ikinci terimin uyarlanmış hâlidir. Burada, C_0 yüzeyin yansımı katsayısını gösteriyor, C_1 yoğunlık taramalarının uzaklığa göre değişen taban genişliğini denkleştirmek için eklenmiştir (Şekil 4). C_2 ise döner platform ile yüzey arasındaki yatay uzaklığını göstermektedir. C_1 parametresine benzer bir bağımlılık Kaynak [10]'da da kullanılmıştır. I 'in paydası kızılberisi algılayıcı ve yüzey arasındaki d uzaklığıdır (Şekil 3).

Denklem (3)'de verilen modele göre, parametrik eğriler doğrusal olmayan en küçük kareler yöntemiyle [11] referans yoğunlık taramalarına uydurulmuştur. Elde edilen eğriler, beyaz köpükten ambalaj malzemesi için Şekil 4'de düz çizgilerle gösterilmiştir. Referans taramaları için, yüzeyin algılayıcı birimine olan uzaklığını bilindiğinden C_2 değişken parametre olarak alınmamıştır.

Algoritmanın yerel en küçük noktaya yakınsaması ve eğri uydurmanın daha küçük sayıda özyinelemeye tamamlanabilmesi için parametrelerin başlangıç kestirimlerinin akıllıca yapılması gerekmektedir. C_0 parametresinin başlangıç kestirimini Denklem (3)'ün $\alpha = 0^\circ$ değerinde hesaplanmasıyla yapılmaktadır. Bu değer I 'nın $\alpha = 0^\circ$ konumundaki değerinin d^2 ile çarpılmıştır. Benzer şekilde, C_1 parametresinin başlangıç kestirimini, sıfırdan farklı bir α değerinde Denklem (3)'den, C_0 'nın başlangıç kestirimini ve $\alpha = 0^\circ$ değerinde



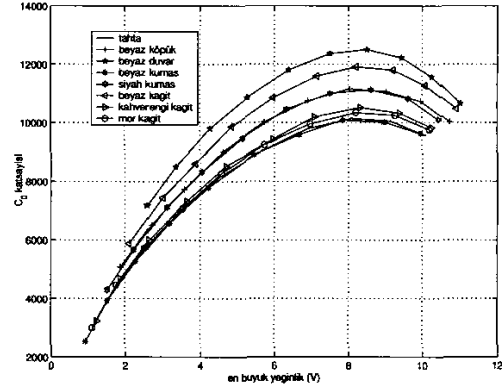
Şekil 4: Beyaz köpükten ambalaj malzemesi için farklı uzaklıklarda yoğunlik taramaları. Düz çizgiler uydurulan eğriyi, noktalar ise gerçek veriyi göstermektedir.

bilinen d uzaklığı kullanılarak yapılmaktadır. Eğri uydurma sırasında, C_0 parametresinin başlangıç kestirim değerinin ± 2000 arasında değiştirilmesine izin verilmiş ve C_1 değeri pozitif olarak seçilmiştir. C_0 , C_1 ve C_2 (ya da $\alpha = 0^\circ$ değerinde d) parametrelerinin referans yoğunlık taramalarının en büyük değerlerine göre değişimi Şekil 5-7'de görülmektedir. d uzaklığı arttıkça, C_0 azalmakta ve C_1 Denklem (3)'teki modelde görüldüğü gibi artmaktadır.

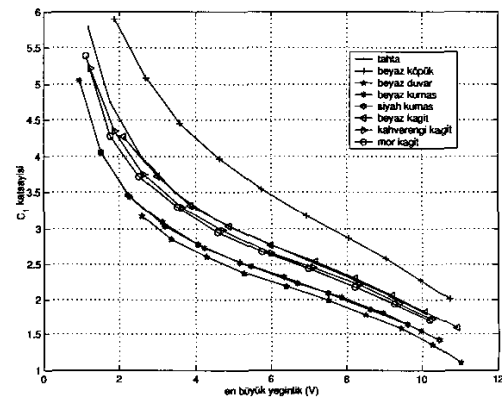
Model uydurması, aynasal yansıtın kısımların yoğunlık taramalarının en büyük olduğu yerlerdeki katkılaraın uzaklığın azalmasınayla artması, modelimizin ise sadece dağınık yansımaları dikkate almasından dolayı daha düşük yoğunlige sahip taramalar için daha iyidir. Bu yüzden gerçek veriyle uydurulan eğri arasındaki hata belli bir uzaklıktan sonra artmaktadır (Şekil 4). Bu etki, belli bir uzaklıktan sonra azalmaya başlayan C_0 katsayısında görülmektedir. Fakat, aynı etki bizim karar verme sürecinde etkili olan C_1 parametresinde görülmemektedir (Şekil 6). Sistemin çalışma aralığı, yakın mesafelerde eğri uydurmadaki hata pahasına artırılmıştır.

3. Algoritmanın Deneysel Olarak Doğrulanması

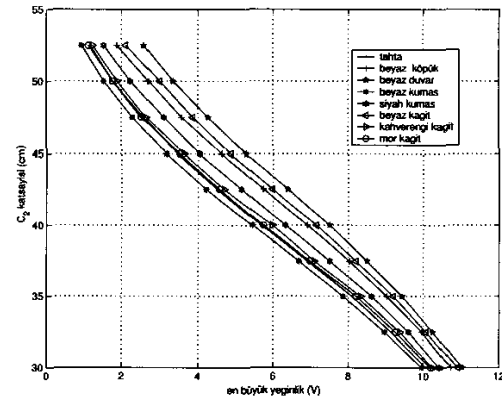
Bu bölümde, ileri sürülen yöntem deneysel olarak doğrulanmaktadır. Test sürecinde, yüzeyler -45° 'den 45° 'ye farklı açısal konumlarda, 2,5 cm aralıklarla, 30 cm'den 52,5 cm'ye kadar referans veri taramalarının doyuma ulaşmadığı rasgele noktalara yerleştirildi. İlk olarak gözlenen yoğunlık taramasının en büyük değeri bulunmaktadır ve bu değerin gerçekleştiği açı değeri, yüzeyin açısal konum kestirimi olarak alınmaktadır. Eğer birden fazla en büyük değer varsa, bu en büyük değerlerin gerçekleştiği açıları ortalamaları alınarak yüzeylerin açısal konum kestirimi yapılmaktadır. Gözlenen yoğunlık taraması, açısal konum kadar kaydırılmakta ve Denklem (3) ile verilen modele doğrusal olmayan en küçük kareler yöntemiyle uydurulmaktadır. C_0 ve C_1 parametreleri için başlangıç kestirimleri referans taramaları için anlatıldığı şekilde



Şekil 5: C_0 katsayısının en büyük yoğunlige göre değişimi.



Şekil 6: C_1 katsayısının en büyük yoğunlige göre değişimi.



Şekil 7: C_2 katsayısının en büyük yoğunlige göre değişimi.

de yapılmaktadır. Kaydedilen referans taramalarının en büyük değerine karşılık gelen erimlerin en büyük ve en küçük değerlerinin ortalaması, C_2 uzaklığının başlangıç kestirimi olarak alınmıştır. Bu değerler Şekil 7'den doğrusal aradeğerleme yapılarak bulunmaktadır. Buda yaklaşık en büyük 2,5 cm erim hatasına neden olmaktadır. C_2 parametresi başlangıç kestiriminin $\pm 2,5$ cm arasında değişmektedir. Doğrusal olmayan eğri uydurmasından sonra, C_0 , C_1 ve C_2 olmak üzere 3 parametre elde ediyoruz. Karar sürecinde, gözlenen taramanın en büyük değeri ve Şekil 6'da doğrusal aradeğerleme ile her yüzey türü için elde edilen C_1 değeri kullanılmaktadır. C_1 parametresinin en büyük yeginkin değerine göre değişimini ayırdedici olduğundan, kararlar $C_1 - C_1'$ mutlak farkına göre alınmaktadır. En küçük hatayı veren yüzey türü doğru yüzey olarak seçilmektedir. Bu karşılaştırma kestirilen erimdeki parametre değerleri kullanılarak da yapılabiliirdi fakat bu C_2 kestirimdeki hata ve belirsizlik yüzünden daha iyi sonuç vermemeştir.

Yüzey ayırdetme sonuçları Tablo 1'de verilmiştir. Sekiz yüzey için %73 doğru ayırdetme oranı elde edilmiş ve yüzeyler sırasıyla 0,8 cm and 1,1° mutlak erim ve açısal konum hatalarıyla konumlandırılmışlardır. Dört yüzey tipi ile (beyaz köpükten ambalaj malzemesi, beyaz badanalı duvar, kahverengi ve mor resim kağıdı) %100 doğruluk elde edilmiştir. Beyaz ve siyah kumaşlar birbirleriyle karıştırılmışlardır. Benzer şekilde, tahta ve beyaz resim kağıdı bir tanesi dışında karıştırılmaktadır. Ayırdelen yüzeylerin sayısını azaltarak daha yüksek doğru ayırdetme oranları elde edebiliriz. Örneğin, test setimizden siyah kumaşı çıkardığımızda %86 doğru ayırdetme oranı elde ediyoruz. Benzer şekilde, tahta ve beyaz kumaşı ya da tahta ve siyah kumaşı test setinden çıkardığımızda, geride kalan altı yüzey için %100 doğru ayırdetme oranı elde edilmekte ve yüzey konumları sırasıyla 0,21 cm and 1,06° ve 0,24 cm ve 1,11°, mutlak erim ve açısal konum hatalarıyla kestirilmiştir.

Tablo 1: Yüzey ayırdetme dizeyi : C_1 parametresine dayalı ayırdetme. (TA: tahta, KM: köpükten ambalaj malzemesi, BD: beyaz duvar, BK: beyaz kumaş, SK: siyah kumaş, BR: beyaz resim kağıdı, KR: kahverengi resim kağıdı, MR: mor resim kağıdı).

yüzey	ayırdetme sonuçları							toplam
	TA	KM	BD	BK	SK	BR	KR	
TA	4	-	-	-	-	7	-	1
KM	-	12	-	-	-	-	-	12
BD	-	-	12	-	-	-	-	12
BK	-	-	-	7	5	-	-	12
SK	-	-	-	9	3	-	-	12
BR	4	-	-	-	-	8	-	12
KR	-	-	-	-	-	-	12	-
MR	-	-	-	-	-	-	-	12
toplam	8	12	12	16	8	15	12	96

4. Sonuç

Bu çalışmada, basit ve ucuz kırmızıberisi algılayıcılarla konumdan bağımsız yüzey ayırdetme gerçekleştirdik. İleri sürülen yaklaşım altı farklı yüzeyi %100 oranla doğru ayırdetmektedir. Parametrik olmayan yöntemlerle yüzeyleri ayırdettigimiz çalışmamızda [12] dört yüzey için en çok %87 doğru ayırdetme oranı elde edilmiştir. Bu oranı bu çalışmamızdaki

oranla karşılaştırıldığımızda, parametrik yaklaşımın parametrik olmayana göre doğruluk açısından, ayırdelen yüzeylerin sayısı açısından ve bellek gereksinimi açısından (parametrik olmayan yaklaşım referans taramalarının kaydedilmesini gerektiriyor) daha üstün olduğu görülmektedir.

İleri sürülen yöntem, farklı yüzeylerin düşük maliyetle ayırdelmesinin gerektirdiği endüstriyel uygulamalarda ve gezgin robot uygulamalarında yakın mesafelerdeki yüzeylerin algılanmasında kullanılabilir.

Şu anki ve gelecekteki çalışmalarımız doyuma ulaşmış taramaların modellenmesini, böylece sistemimizin çalışma aralığının genişletilmesini ve modelin tam yansımaları da içerecek şekilde genişletilmesini içermektedir. Ayrıca, yapay sinir ağları kullanarak yüzey ayırdetme oranını iyileştirmeyi düşündürüyoruz.

5. Kaynakça

- [1] M. D. Adams. Lidar design, use, and calibration concepts for correct environmental detection. *IEEE Trans. Robot. Automat.*, 16:753–761, Aralık 2000.
- [2] X. D. He, K. E. Torrance, F. X. Sillion ve D. P. Greenberg. A comprehensive physical model for light reflection. *Computer Graphics*, 25(4):175–186, Temmuz 1991.
- [3] E. R. Davies. *Machine Vision: Theory, Algorithms, Practicalities*, London: Academic Pr., 377–382, 1990.
- [4] R. M. Haralick ve L. G. Shapiro. *Computer and Robot Vision*, Reading, Massachusetts: Addison-Wesley, 2:1–11, 1993.
- [5] B. T. Phong. Illumination for computer generated pictures. *Communications of the ACM*, 18(6):311–317, Haziran 1975.
- [6] P. M. Novotny ve N. J. Ferrier. Using infrared sensors and the Phong illumination model to measure distances. *Proc. IEEE Int. Conf. Robot. Automat.*, 1644–1649, Detroit, MI, 10–15 Mayıs 1999.
- [7] B. Iske, B. Jäger ve U. Rückert. A ray-tracing approach for simulating recognition abilities of active infrared sensor arrays. *Sensors, 2002. Proc. IEEE*, 2:1227–1232, 12–14 Haziran 2002.
- [8] Matrix Elektronik, AG, Kirchweg 24 CH-5422 Oberhalden, Switzerland, *IRS-U-4A Proximity Switch Datasheet*, 1995.
- [9] Arrick Robotics, P.O. Box 1574, Hurst, Texas, 76053, URL: www.robots.com/rt12.html, *RT-12 Rotary Positioning Table*, 2002.
- [10] G. Petryk ve M. Buehler. Dynamic object localization via a proximity sensor network. *Proc. IEEE/SICE/RSJ Int. Conf. Multisensor Fusion and Integration for Intelligent Systems*, 337–341, Washington DC, USA, 8–11 Aralık 1996.
- [11] Numerical Recipies in C: The Art of Scientific Computing, Cambridge University Press, 681–689, URL: www.library.cornell.edu/nr/bookcpdf.html.
- [12] B. Barshan ve T. Aytaç. Position-invariant surface recognition and localization using infrared sensors. *Opt. Eng.*, 42(12): 3589–3594, Aralık 2003.